

التدعيم بالجيوغريد لتحسين مواصفات تربة تأسيس السد الركامي

م. عماد زكريا *

د. م. طلال عواد **

الملخص

تظهر الترب الضعيفة خصائص هندسية غير مرغوب بها. فهي تميل إلى مقاومة قص ضعيفة ويمكن أن تكون لدنة وانضغاطية ويمكن أن تتمدد بالترطيب وتتقلص بالتجفيف. إن تنفيذ الردميات والمنشآت الأخرى على مثل هذه الترب الضعيفة يعدّ تحدياً في الهندسة الجيوتكنيكية. وفي الوقت نفسه فإن البناء على الترب الضعيفة أصبح أكثر أهمية نتيجة التوسع العمراني السريع كمناطق تمدن في جميع أنحاء العالم بسبب التزايد السكاني. ويهتم هذا البحث باستخدام التدعيم بالجيوغريد لتقوية التربة الضعيفة وتحسين مواصفاتها.

يتبين من خلال هذا البحث أن توضع التسليح بالجيوغريد بين ردمية السد وسطح تربة القاعدة الضعيفة يزيد من قساوة التربة الضعيفة. وسيكون التسليح بالجيوغريد إحدى وسائل زيادة قساوة الطبقة الضعيفة الموجودة في المنطقة المدروسة إلى جانب الحصول على مقاومة عالية للشد والانعطاف.

الكلمات المفتاحية : جيوغريد تربة ضعيفة قساوة التربة ردمية سد.

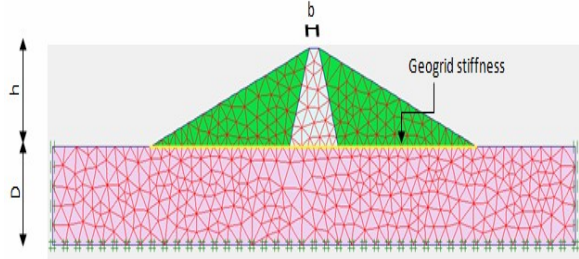
* أعد البحث في سياق رسالة الماجستير للمهندس عماد محمد زكريا بإشراف الدكتور طلال عواد - قسم الهندسة الجيوتكنيكية كلية الهندسة المدنية جامعة دمشق.

** قسم الهندسة الجيوتكنيكية كلية الهندسة المدنية جامعة دمشق.

1. مقدمة

تناقش هذه المقالة بعض البارامترات التي تؤثر في دور الجيوغريد في زيادة قساوة التربة القاعدية لردمية سد ركامي ، إن مصطلح قساوة التربة أينما ورد في هذا البحث يمثل نسبة إجهاد القص المطبق إلى إجهاد القص الحدي عند الانهيار بحسب موهر كولومب. سندرس في هذا البحث حالة وضع الجيوغريد في المنطقة الفاصلة بين جسم الردمية وتربة الأساس وسوف ندرس البارامترات التي يمكن أن يكون لها تأثير في توضيح دور الجيوغريد في زيادة قساوة التربة القاعدية وهي:

- ارتفاع جسم ردمية السد .
- عرض قمة ردمية السد .
- سماكة طبقة الأساس ذات المواصفات الضعيفة .
- قساوة الجيوغريد المستخدم للتدعيم .



الشكل (1) البارامترات المدروسة

وقد دُرِسَ تأثير كل بارامتر في قساوة التربة عند سطح تربة التأسيس بتغيير أحد البارامترات وتثبيت البارامترات الأخرى وذلك بطريقة العناصر المحدودة وباستخدام برنامج plaxis 2D Vr 8.1 . ولتحليل هذا التأثير رُسمت منحنيات بيانية لتمثيل العلاقة بين البارامتر المتغير ومعامل تأثير القساوة K_F الذي يمكن تعريفه بأنه النسبة بين قساوة التربة عند سطح التماس المدروس بوجود التدعيم إلى القساوة عند النقطة نفسها دون وجود التدعيم.

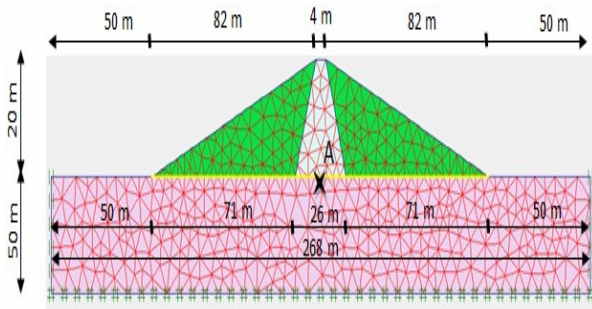
هدف هذا البحث إلى:

- دراسة تأثير البارامترات المذكورة أعلاه في قساوة التربة القاعدية .
- تحديد معامل تأثير القساوة K_F .
- تحديد نسبة ارتباط البارامترات المدروسة بمعامل تأثير القساوة وبيان هل هذه البارامترات هي المتغيرات الوحيدة التي تؤثر في معامل تأثير القساوة أم أن هناك مؤثرات أخرى لم تؤخذ بالحسبان وذلك بإيجاد معامل التحديد المتعدد من خلال تحديد نسبة الارتباط .

2. النمذجة العددية وفق برنامج plaxis 2D

حُلَّ التشوه المستوي (plane strain analysis) وفق معيار المرونة وصممت شبكة العناصر المحدودة النمذجية باستخدام عناصر مثلثية بـ (6-nodes). وأُخذت بالحسبان الشروط المحيطة الآتية: منع الانتقال الأفقي للحدود الجانبية الشاقولية للنموذج ومنع الانتقال الأفقي والشاقولي للحدود السفلى الأفقية. كما أُخذت بالحسبان النقاط الآتية:

- حُدِّدَتْ حدود النموذج الخارجية : أُخذت بالحسبان حدود النموذج حتى نقاط تتلاشى فيها التشوهات والإجهادات كما هو مبين بالشكل (3) .



الشكل (3) شبكة العناصر المحدودة وخصائص النموذج لحالة محددة

- حُدِّدَ الشكل الهندسي والأبعاد للنموذج مع الخطوط الأساسية لمكونات المسألة.
- أُسِّدَتْ خصائص المواد وتغيرها بحسب البارامتر المدروس كما يوضح الجدول (1).

كان التدعيم مطلوباً نتيجة ما سبق فإن الخطوة التالية في التصميم هي حساب الارتفاع الأعظمي النظري H_u لردمية مدعمة بشكل تام أي نفترض وجود تدعيم كافٍ للردمية تسبب لها أن تسلك سلوك الأساس الصلب وذلك عن طريق تحليل قدرة التحمل لأساس صلد .

ويستفاد من تحديد هذا الارتفاع في تقييم هل كان التدعيم

بمفرده كافياً للاستقرار أم لا بداً من بديل

$$h < H_u \text{ and } h > H_c \rightarrow$$

التدعيم بمفرده يؤمن الاستقرار الكافي

$$h > H_u \rightarrow$$

التدعيم بمفرده لا يؤمن الاستقرار الكافي

من أجل النموذج المدروس نجد أن $H_u=33$ m ولما كان الارتفاع المطلوب للردمية هو $h=32$ m فالتدعيم بمفرده إذاً يؤمن الاستقرار الكافي .

نلاحظ مما سبق أنه تم الوصول إلى الارتفاع المطلوب

لردمية السد من خلال التدعيم بالجيوغريد .

3- تحديد القوى التصميمية لمادة التدعيم من أجل

استقرار الردمية المدعمة إذا كان التدعيم مطلوباً

وكافياً بمفرده لتأمين الاستقرار المطلوب ولا بداً من

تحديد القوى التي سنصمم عليها مادة التدعيم T التي

تعدّ كعزم مقاوم إضافي تؤخذ الأصغر بين :

✓ القوة المطلوبة لسند إجهاد القص عند السطح

الفصل أساس - ردمية وقوة الدفع في جسم الردمية .

✓ قدرة الانسحاب للتدعيم (التملص) .

✓ القوة المسموحة $Ta = m.J. \varepsilon a$

إذ :

m : عدد طبقات التدعيم $m = 3$

J: قساوة مادة التدعيم على مدى التشوه $\varepsilon a \rightarrow 0$

البارامتر	الرمز	ثروة الأساس	ثروة التواء	ثروة الجوانب	الوحدة
الموديل المدروس	Mod	موهر كولومب	موهر كولومب	موهر كولومب	-
نموذج المادة	Type	مصرفة	مصرفة	مصرفة	-
الوزن الحجمي غير المشبع	γ_{usar}	18	16	16	kn/m ³
الوزن الحجمي المشبع	γ_{sar}	21	20	20	kn/m ³
التغايب الأفقية	K_x	0.02	0.0001	0.25	m/day
التغايب الشقولية	K_y	0.02	0.0001	0.25	m/day
معامل يونغ	E_{ref}	4400	8000	20000	kn/m ²
معامل بواسون	ν	0.3	0.35	0.33	-
التماسك	C	12.3	5	5	kn/m ²
زاوية الاحتكاك الداخلي	φ	7.7	25	30	°

الجدول (1)

• ولدت شبكة العناصر المحدودة والمبينة في الشكل

(3) .

• رُصدت الإجهادات عند نقطة أسفل ردمية السد

(النقطة A).

تأثير ارتفاع ردمية السد:

نبين فيما يأتي طريقة التصميم المبسطة لتحديد متى

نحتاج إلى تدعيم بشكل مبدئي (مقترح مخطط التصميم):

1- تحديد ارتفاع الانهيار للردمية غير المدعمة H_c عن

طريق تحليل دائرة الانزلاق الذي يقابل الارتفاع

عند تساوي عزم الانقلاب مع العزم المقاوم .

ويستفاد من تحديد هذا الارتفاع في تقييم هل كان التدعيم

مطلوباً أم لا فإذا وجدنا أن ارتفاع الانهيار المحسوب

H_c للردمية غير المدعمة أكبر الردمية أو يساويها فإن

التدعيم غير مطلوب وما عدا ذلك فإن التدعيم يعتبر

ليسمح بارتفاع إضافي .

التدعيم غير مطلوب $H_c \geq h \rightarrow$

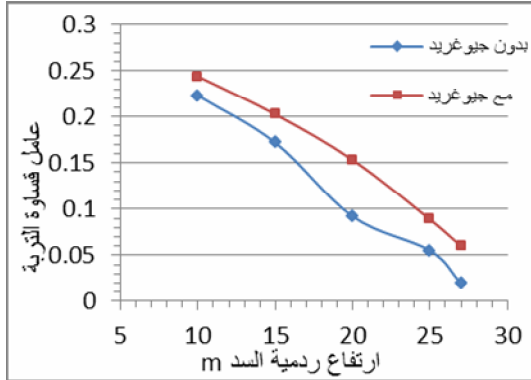
التدعيم مطلوب $H_c < h \rightarrow$

من أجل النموذج المدروس نجد أن $H_c=27$ m ولما كان

الارتفاع المطلوب للردمية هو $h=30$ m فالتدعيم مطلوب إذاً.

2- تحديد ارتفاع الانهيار لردمية مدعمة بشكل تام H_u

عَدَ سلوك الردمية يماثل سلوك أساس صلد) إذا



الشكل (4) العلاقة بين عامل قساوة التربة وارتفاع ردمية السد

بدراسة المنحنى البياني في الشكل (4) نلاحظ ظهور تأثير التسليح بالجيورغريد من خلال زيادة قساوة تربة القاعدة بنسبة متزايدة تبدأ من 67% عند الارتفاع 20 م وتزداد بازدياد الارتفاع لتصبح نحو 100% عند الارتفاع 27 م حيث تنهار الردمية دون التدعيم الجيورغريد .

تأثير عرض قمة ردمية السد

إن دراسة تأثير عرض قمة ردمية السد b في دور الجيورغريد في زيادة القساوة لقواعد ردميات السدود في حالة تأسيسها على الترب الضعيفة أجري بتثبيت البارامترات الآتية :

• مواصفات شبكة الجيورغريد: باستخدام ثلاث طبقات

• $EA=500Kn/m'$ لكل طبقة.

• مواصفات جسم السد (أبعاده ومواصفاته ومكوناته)

باستثناء عرض قمة السد.

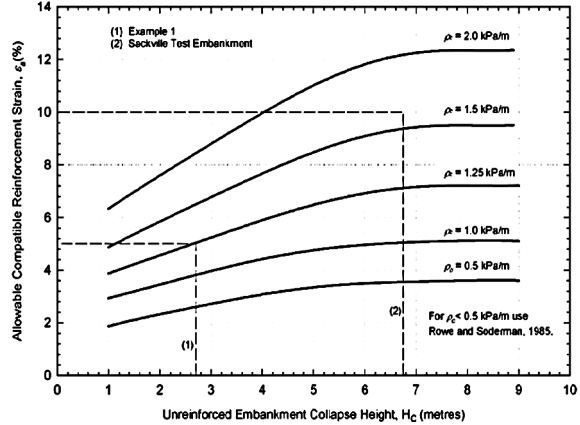
وأمّا البارامتر المتغير في دراسة هذا التأثير فهو عرض

قمة ردمية السد b

رُصِدَتِ الإجهادات عند النقطة (A) الواقعة عند السطح الفاصل بين جسم ردمية السد وتربة قاعدة التأسيس كما يظهر في الشكل (3) .

ولتقييم التأثير الناتج عن عرض قمة ردمية السد في دور الجيورغريد في زيادة القساوة لقواعد ردميات

التدعيم بالجيورغريد لتحسين مواصفات تربة تأسيس السد الركامي
 ϵ_c : تشوه مادة التدعيم المسموح الذي يحسب من مخطط التصميم الذي وُضِعَ من أجل تخمين تشوه مادة التدعيم المسموح الشكل (2)



الشكل (2) من أجل تخمين تشوه مادة التدعيم المسموح

حسب Rowe and Soderman

إن دراسة تأثير ارتفاع ردمية السد h على دور الجيورغريد في زيادة قساوة التربة لقواعد ردميات السدود في حال تأسيسها على الترب الضعيفة أجري بتثبيت البارامترات الآتية :

• مواصفات شبكة الجيورغريد: باستخدام ثلاث طبقات

• $EA=500Kn/m'$ لكل طبقة.

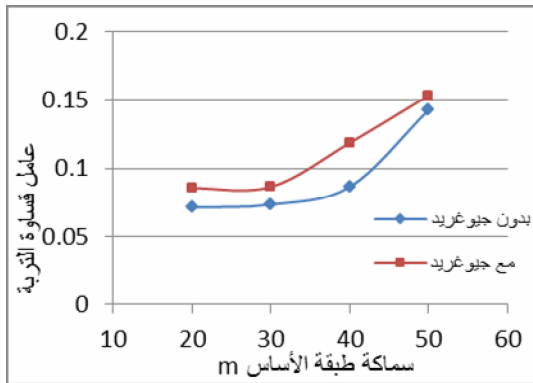
• مواصفات جسم السد (أبعاد ومواصفات مكوناته).

وأمّا البارامتر المتغير في دراسة هذا التأثير فهو ارتفاع ردمية السد h.

رُصِدَتِ الإجهادات عند النقطة (A) الواقعة عند السطح الفاصل بين جسم ردمية السد وتربة قاعدة التأسيس كما يظهر في الشكل (3) .

ولتقييم التأثير الناتج عن ارتفاع ردمية السد في دور الجيورغريد في زيادة القساوة لقواعد ردميات السدود رُسمَ المنحنى البياني كما في الشكل (4) حيث المحور الأفقي يمثل ارتفاع ردمية السد h والمحور الشاقولي يمثل قساوة التربة عند النقطة (A) .

ولتقييم التأثير الناتج عن سماكة طبقة الأساس في دور الجيوغريد في زيادة القساوة لقواعد ردميات السدود تم رسم المنحني البياني كما في الشكل (6) حيث المحور الأفقي يمثل سماكة طبقة الأساس D والمحور الشاقولي يمثل قساوة التربة عند النقطة (A).



الشكل (6) العلاقة بين عامل قساوة التربة وسماكة طبقة الأساس

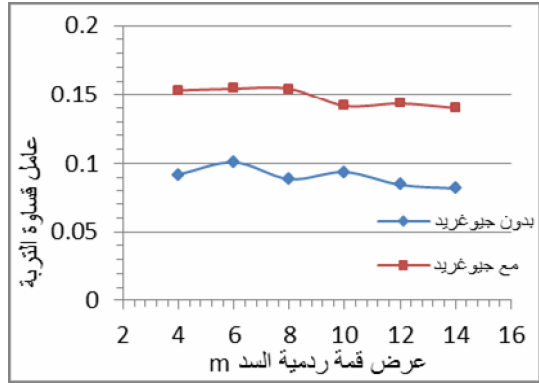
رُسم المنحني البياني في الشكل (6) يمكننا ملاحظة زيادة قساوة التربة باستخدام شبكة الجيوغريد في تدعيم القاعدة بنسبة 18% إلى 37%، حادّيث من أجل الأعماق بين 30 إلى 50 م تكون الاستفادة من التدعيم جيدة.

تأثير قساوة الجيوغريد

إن دراسة تأثير قساوة الجيوغريد EA في رفع قدرة التحمل وتحسين مواصفات الانضغاط لقواعد ردميات السدود في حالة تأسيسها على الترب الضعيفة أُجري بتثبيت البارامترات الآتية:

- عمق طبقة التأسيس بحيث لا تؤثر في تشوه القاعدة.
- مواصفات جسم السد (أبعاده ومواصفاته ومكوناته).
- وأما البارامتر المتغير فهو قساوة الجيوغريد EA وهي قساوة خطية معرفة وفق البرنامج المدروس.

السدود رُسم المنحني البياني كما في الشكل (5) حيث المحور الأفقي يمثل عرض قمة ردمية السد b والمحور الشاقولي يمثل قساوة التربة عند النقطة (A).



الشكل (5) العلاقة بين عامل قساوة التربة وعرض قمة ردمية السد

بدراسة المنحني البياني في الشكل (5) نلاحظ ظهور دور الجيوغريد في رفع قساوة التربة بنسبة 67% وتزداد هذه النسبة بزيادة عرض قمة الردمية .

تأثير سماكة طبقة الأساس

إن دراسة تأثير سماكة طبقة الأساس D (الذي يمثل سماكة طبقة القاعدة ذات المواصفات الضعيفة) في دور الجيوغريد في زيادة القساوة لقواعد ردميات السدود في حال تأسيسها على الترب الضعيفة أُجري بتثبيت البارامترات الآتية:

- مواصفات شبكة الجيوغريد: باستخدام ثلاث طبقات $EA=500Kn/m'$ لكل طبقة.
- مواصفات جسم السد (أبعاده ومواصفاته ومكوناته).
- وأما البارامتر المتغير في دراسة هذا التأثير فهو سماكة طبقة الأساس ذات المواصفات الضعيفة D ورُصدت الإجهادات عند النقطة (A) الواقعة عند السطح الفاصل بين جسم ردمية السد وتربة قاعدة التأسيس كما يظهر في الشكل (3).

أكثر في المتغير التابع ثم نقوم باختبار هذا النموذج لمعرفة مدى جودة معادلة الانحدار الخطي المتعدد للتعبير عن K_f بدلالة كل من h, b, D, EA يأخذ نموذج الانحدار الخطي المتعدد الشكل العام الآتي:

$$Y_k = \beta_0 + \beta_1 X_{1k} + \beta_2 X_{2k} + \dots + \beta_L X_{Lk} + \zeta_k$$

حيث تمثل: Y_k المتغير التابع

و $X_{1k}, X_{2k}, \dots, X_{Lk}$ المتغيرات المستقلة.

و $\beta_0, \beta_1, \beta_2, \dots, \beta_K$ معالم النموذج.

و $K = 1, 2, \dots, n$ عدد المشاهدات.

ولدينا: المتغير التابع Y هو معامل تأثير القساوة K_f

$$Y_k = (K_f)_k \text{ أي إن:}$$

المتغيرات المستقلة X_1, X_2, \dots, X_L ذات علاقة مع

$$h, b, D, EA$$

أي إن:

$$X_1 = f(h)$$

$$X_2 = f(b)$$

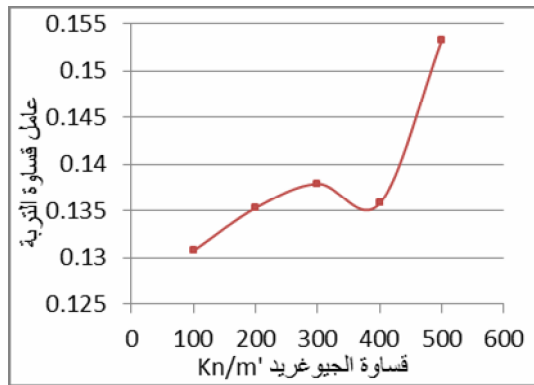
$$X_3 = f(D)$$

$$X_3 = f(EA)$$

ومن ميزات هذا الانحدار أن كلما كانت المتغيرات المستقلة X_1, X_2, \dots, X_L أكثر تعبيراً وارتباطاً بالمتغير التابع $(K_f)_k$ ولما كنا معادلة الانحدار الخطي المتعدد أكثر جودة وبما أننا لا نعرف كيفية ارتباط معامل تأثير القساوة K_f بالمتغيرات h, b, D, EA انطلقنا من متغيرات مستقلة ذات توابع تتميز بأن لها شكلاً يقارب شكل منحنى علاقة المتغير المستقل بالمتغير التابع ثم نوجد معالم النموذج $\beta_0, \beta_1, \beta_2, \dots, \beta_K$ التي تجعل توابع المتغيرات المستقلة أكثر تعبيراً عن $(K_f)_k$ ومن ثم فإن:

رُصدت الإجهادات عند النقطة (A) الواقعة عند السطح الفاصل بين جسم ردمية السد و تربة قاعدة التأسيس كما يظهر في الشكل (3).

ولتقييم التأثير الناتج عن قساوة الجيوغريد في زيادة القساوة لقواعد ردميات السدود رُسم المنحنى البياني كما في الشكل (7)، إذ المحور الأفقي يمثل تغير قساوة الجيوغريد والمحور الشاقولي يمثل قساوة التربة عند النقطة (A).



الشكل (7) العلاقة بين عامل قساوة التربة وقساوة

الجيوغريد

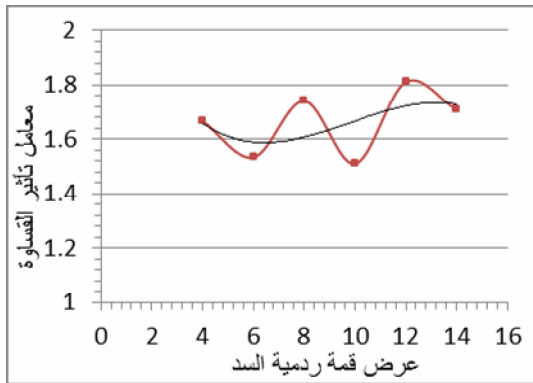
بدراسة المنحنى البياني في الشكل (7) نلاحظ التأثير الواضح لزيادة قساوة الجيوغريد في زيادة قساوة التربة يفسر هذا السلوك بأن الجيوغريد والردمية يعملان كأساس صلد عند وصول قساوة الجيوغريد إلى قيمة معينة.

علاقة معامل تأثير القساوة K_f بالبارامترات المؤثرة

بها إحصائياً

وجدنا في الفقرات أعلاه أن معامل تأثير القساوة K_f تابع لكل من ارتفاع ردمية السد h وعرض قمة السد b وسماكة طبقة الأساس الضعيفة D وقساوة الجيوغريد EA أي إن: $K_f = f(h, b, D, EA)$.

وسنقوم الآن بتحديد K_f وتابعيتها لكل من h, b, D, EA إحصائياً باستخدام نماذج الانحدار الخطي المتعدد الذي يأخذ في الحسبان تأثير متغيرين مستقلين أو



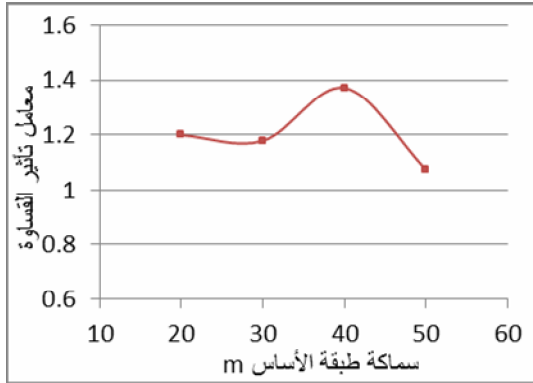
الشكل (9) علاقة معامل تأثير القساوة مع عرض قمة ردمية السد

المنحنى $X_3 = f(D)$ يجب أن يكون مشابهاً للشكل (10) الذي له الشروط الحدية التالية :

- أن هذا التابع يكون $f(D) \leq 1.2$
 - أن هذا التابع له مستقيم مقارب $f(D) = 1.37$
 - أن هذا التابع يكون متزايد حتى القيمة $D = 40m$
- ونلاحظ أن

$$X_3 = -0.0001D^3 + 0.0116D^2 - 0.3596D + 4.6884$$

يقارب في شكله الشكل (10) ويحقق شروطه الحدية.



الشكل (10) علاقة معامل تأثير القساوة مع سماكة طبقة الأساس

المنحنى $X_4 = f(EA)$ يجب أن يكون مشابهاً للشكل (11) الذي له الشروط الحدية الآتية:

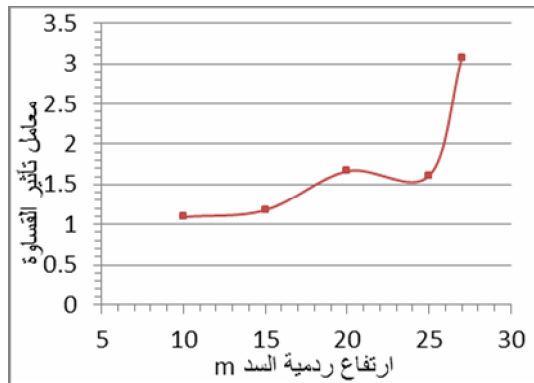
- يكون هذا التابع متزايداً.
- ونلاحظ أن $X_4 = 0.0007EA + 1.7841$

المنحنى $X_1 = f(h)$ يجب أن يكون مشابهاً للشكل (8) الذي له الشروط الحدية الآتية:

- يكون هذا التابع $1 \leq f(h) < \infty$ عندما $1 \leq h < 30$
 - أن هذا التابع له مستقيم مقارب إلى $h = 30m$
 - عندما $h \rightarrow 30$ فإن $f(h) \rightarrow \infty$
- ونلاحظ أن

$$X_1 = F(h) = 0.0017h^3 - 0.085h^2 + 1.3904h - 6.056$$

يقارب في شكله الشكل (8) ويحقق شروطه الحدية.



الشكل (8) علاقة معامل تأثير القساوة مع ارتفاع ردمية السد

المنحنى $X_2 = f(b)$ يجب أن يكون مشابهاً للشكل (9) الذي له الشروط الحدية الآتية :

- نلاحظ أن هذا التابع يكون $1.50 \geq f(b) \geq 2$ عندما $4 < b \leq 14$ ونظراً إلى أن قيم معامل تأثير القساوة ذات تغيير بسيط بتغيير عرض قمة ردمية السد ومن ثم

$$X_2 = -0.0009b^3 + 0.0278b^2 - 0.2405b + 2.2352$$

يقارب في شكله الشكل (9) .

إلى أقل قيمة ممكنة وذلك بأخذ التفاضل الجزئي بالنسبة إلى المقدرات $b_0, b_1, b_2, b_3, \dots$ ومساواته بالصفر فنحصل على المعادلات الآتية:

$$\sum_{k=1}^n ((K_f)_k - (\bar{K}_f)_k)^2 = \sum_{k=1}^n [(K_f)_k - (b_0 + b_1X_{1k} + b_2X_{2k} + b_3X_{3k} + b_4X_{4k})]^2$$

$$\sum_{k=1}^n ((K_f)_k - (\bar{K}_f)_k)^2 = \sum_{k=1}^n [(K_f)_k - (b_0 + b_1X_{1k} + b_2X_{2k} + b_3X_{3k} + b_4X_{4k})]^2$$

$$\sum_{k=1}^n ((K_f)_k - (\bar{K}_f)_k)^2 = \sum_{k=1}^n (K_f)_k^2 - \sum_{k=1}^n 2(K_f)_k(b_0 + b_1X_{1k} + b_2X_{2k} + b_3X_{3k} + b_4X_{4k}) + \sum_{k=1}^n (b_0 + b_1X_{1k} + b_2X_{2k} + b_3X_{3k} + b_4X_{4k})^2$$

$$\frac{\delta \sum_{k=1}^n ((K_f)_k - (\bar{K}_f)_k)^2}{\delta b_0} =$$

$$- \sum_{t=1}^n 2(K_f)_k b_0 + \sum_{t=1}^n 2(b_0 + b_1X_{1k} + b_2X_{2k} + b_3X_{3k} + b_4X_{4k})b_0 = 0$$

$$\frac{\delta \sum_{k=1}^n ((K_f)_k - (\bar{K}_f)_k)^2}{\delta b_1} =$$

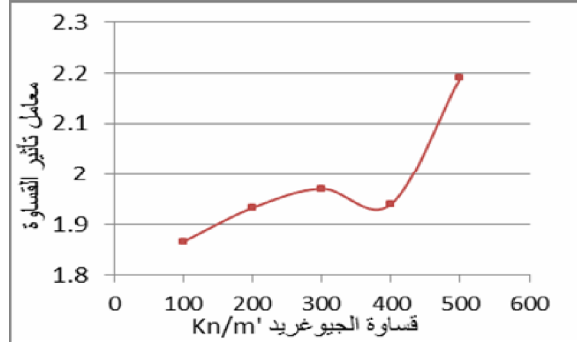
$$- \sum_{t=1}^n 2(K_f)_k X_{1k} + \sum_{t=1}^n 2(b_0 + b_1X_{1k} + b_2X_{2k} + b_3X_{3k} + b_4X_{4k})X_{1k} = 0$$

$$\frac{\delta \sum_{k=1}^n ((K_f)_k - (\bar{K}_f)_k)^2}{\delta b_2} = - \sum_{t=1}^n 2(K_f)_k X_{2k} + \sum_{t=1}^n 2(b_0 + b_1X_{1k} + b_2X_{2k} + b_3X_{3k} + b_4X_{4k})X_{2k} = 0$$

$$\frac{\delta \sum_{k=1}^n ((K_f)_k - (\bar{K}_f)_k)^2}{\delta b_3} = - \sum_{t=1}^n 2(K_f)_k X_{3k} + \sum_{t=1}^n 2(b_0 + b_1X_{1k} + b_2X_{2k} + b_3X_{3k} + b_4X_{4k})X_{3k} = 0$$

$$\frac{\delta \sum_{k=1}^n ((K_f)_k - (\bar{K}_f)_k)^2}{\delta b_4} = - \sum_{t=1}^n 2(K_f)_k X_{4k} + \sum_{t=1}^n 2(b_0 + b_1X_{1k} + b_2X_{2k} + b_3X_{3k} + b_4X_{4k})X_{4k} = 0$$

يقارب في شكله الشكل (11) ويحقق شروطه الحدية.



الشكل (11) علاقة معامل تأثير القساوة مع قساوة الجيوغريد ومن ثم يصبح نموذج الانحدار الخطي المتعدد له الشكل الآتي:

$$(K_f)_k = \beta_0 + \beta_1X_{1k} + \beta_2X_{2k} + \beta_3X_{3k} + \beta_4X_{4k} + \zeta_k \quad (1-1)$$

إذ:

$$X_1 = F(h) = 0.0017h^3 - 0.085h^2 + 1.3904h - 6.056$$

$$X_2 = -0.0009b^3 + 0.0278b^2 - 0.2405b + 2.2352$$

$$X_3 = -0.0001D^3 + 0.0116D^2 - 0.3596D + 4.6884$$

$$X_4 = 0.0007EA + 1.7841$$

وتأخذ المعادلة المقدره للعلاقة (1-1) الصيغة الآتية:

$$(\bar{K}_f)_k = b_0 + b_1X_{1k} + b_2X_{2k} + b_3X_{3k} + b_4X_{4k} \quad (2-1)$$

إذ: b_0, b_1, b_2, b_3, b_4 معاملات الانحدار الجزئية (التي

تسهم كل منها جزئياً في التغير الكلي $(\bar{K}_f)_k$ الناتج

عن تغيير X_1, X_2, X_3, X_4

والآن سنحسب قيم مقدرات معالم نموذج الانحدار المتعدد

بطريقة المربعات الصغرى العادية في هذه الطريقة يتم

السعي إلى تخفيض مجموع مربعات الانحرافات بين القيم

الفعلية والقيم المقدره للمتغير التابع

$$\sum_{k=1}^n ((K_f)_k - (\bar{K}_f)_k)^2$$

أي إن:

ومن ثم تصبح معادلة الانحدار الخطي المتعدد التي تعبر

عن معامل تأثير القساوة (K_f) كما يأتي:

$$\begin{aligned} (\bar{K}_f)_k &= 1.9278238 + 0.7833331X_{1k} \\ &+ 0.957941X_{2k} \\ &+ 0.2107901X_{3k} \\ &- 1.7353776X_{4k} \quad (3-1) \end{aligned}$$

تقييم مدى جودة معادلة الانحدار الخطي المتعدد:

- الخطأ المعياري للتقدير s : الذي يقيس مدى تشتت القيم الفعلية عن القيم المقدرة الذي يحسب من العلاقة الآتية:

$$s = \sqrt{\frac{\sum_{k=1}^n ((K_f)_k - (\bar{K}_f)_k)^2}{n-5}} = 0.064564$$

- معامل التحديد المتعدد R^2 : الذي يقيس نسبة التغير

في المتغير التابع $(K_f)_k$ التي تفسرها المتغيرات X_1, X_2, X_3, X_4 بمعنى مدى ارتباط المتغيراتبالمتغير التابع $(K_f)_k$ وأن هذه

المتغيرات هي المؤثرات الوحيدة التي تؤثر في

 $(K_f)_k$ أم هناك مؤثرات أخرى لم تؤخذ بعين

الاعتبار. وبحسب معامل التحديد المتعدد بالعلاقة

الآتية:

$$R^2 = 1 - \frac{\sum_{k=1}^n ((K_f)_k - (\bar{K}_f)_k)^2}{\sum_{k=1}^n ((K_f)_k - (\bar{K}_f)_k)^2} \Rightarrow R^2 = 0.81$$

إذ: $(\bar{K}_f)_k$ المتوسط الحسابي.نلاحظ أن $0.8 \leq R^2 = 0.89 \leq 0.9$ ومن ثم فإن

جودة معادلة الانحدار جيدة

إذ نعدُّ إحصائياً $0.9 \leq R^2 \leq 1$ ومن ثم فإن جودة

معادلة الانحدار جيدة جداً

$$\begin{aligned} \sum_{t=1}^n (K_f)_k &= nb_0 + b_1 \sum_{t=1}^n X_{1k} \\ &+ b_2 \sum_{t=1}^n X_{2k} + b_3 \sum_{t=1}^n X_{3k} + b_4 \sum_{t=1}^n X_{4k} \end{aligned}$$

$$\begin{aligned} \sum_{t=1}^n X_{1k} (K_f)_k &= b_0 \sum_{t=1}^n X_{1k} + b_1 \sum_{t=1}^n X_{1k}^2 \\ &+ b_2 \sum_{t=1}^n X_{1k} X_{2k} \\ &+ b_3 \sum_{t=1}^n X_{1k} X_{3k} + b_4 \sum_{t=1}^n X_{1k} X_{4k} \end{aligned}$$

$$\begin{aligned} \sum_{t=1}^n X_{2k} (K_f)_k &= b_0 \sum_{t=1}^n X_{2k} \\ &+ b_1 \sum_{t=1}^n X_{2k} X_{1k} + b_2 \sum_{t=1}^n X_{2k}^2 \\ &+ b_3 \sum_{t=1}^n X_{2k} X_{3k} + b_4 \sum_{t=1}^n X_{2k} X_{4k} \end{aligned}$$

$$\begin{aligned} \sum_{t=1}^n X_{3k} (K_f)_k &= b_0 \sum_{t=1}^n X_{3k} \\ &+ b_1 \sum_{t=1}^n X_{3k} X_{1k} + b_2 \sum_{t=1}^n X_{3k} X_{2k} \\ &+ b_3 \sum_{t=1}^n X_{3k}^2 + b_4 \sum_{t=1}^n X_{3k} X_{4k} \end{aligned}$$

ولإيجاد معادلة الانحدار المتعدد نوجد قيم:

وذلك بحل جملة المعادلات الخطية

أعلاه التي تكتب على الشكل الآتي:

$$33.311 = 20b_0 + 29.22 b_1$$

$$33.489 b_2 + 59.984 b_3 +$$

$$51.051 = 29.2149 b_0 + 45.812 b_4$$

$$48.888 b_2 + 88.076 b_3 + 60.401 b_4$$

$$55.804 = 33.489 b_0 + 48.888 b_1$$

$$56.133 b_2 + 100.5 b_3 + 70.307 b_4$$

$$101.76 = 100.5 b_3 + 70.307 b_4$$

$$100.5 b_2 + 185.55 b_3 + 125.766 b_4$$

$$69.749 = 41982 b_0 + 61A01b_1 +$$

$$70.307 b_2 + 125.77b_3 + 88.24 b_4$$

بحل جملة المعادلات الخطية أعلاه نجد:

$$A * b = C$$

$$\begin{pmatrix} b_0 \\ b_1 \\ b_2 \\ b_3 \\ b_4 \end{pmatrix} = \begin{pmatrix} 1.9278238 \\ 0.7833331 \\ 0.957941 \\ 0.2107901 \\ -1.7353776 \end{pmatrix}$$

• أظهرت الدراسة الإحصائية لنتائج حساب معامل تأثير القساوة (K_f) وفق المعادلة (3-1) المقترحة في هذه المقالة قد أن النتيجة الحسابية تمثل 81~ 99% من الحالات .

الجدول (2)

مدى جدوى استخدام الجيوغريد للحالات المدروسة		
القساوة	X	البارامترات
67%	20	h ارتفاع الردمية (m)
61%	25	
100%	*27	
20%	20	D سماكة الطبقة القاعدية (m)
18%	30	
37%	40	
67%	4	b عرض قمة ردمية السد (m)
74%	8	
81%	12	
87%	100	EA قساوة الجيوغريد (Kn/m`)
93%	200	
97%	300	
98%	400	
100%	500	

(*) عند هذا الارتفاع h=27 m تشكلت حالة انهيار تامة

في حالة عدم وجود الجيوغريد

$0.8 \leq R^2 \leq 0.9$ ومن ثمَّ فإن جودة معادلة الانحدار جيدة

$0.7 \leq R^2 \leq 0.8$ ومن ثمَّ فإن جودة معادلة الانحدار مقبولة

$0 \leq R^2 \leq 0.7$ ومن ثمَّ فإن جودة معادلة الانحدار ضعيفة

وهذا يعني أن h, b, D, EA تؤثر في (K_f) بمقدار 81% ومع أن هذه النسبة تعدُّ جيدة (بحسب المرجع - المدخل إلى علم الإحصاء) إلا أنه يمكن عدُّ هذه البارامترات ليست الوحيدة المؤثرة في معامل تأثير القساوة وتوجد بارامترات أخرى يمكن أن تؤثر في (K_f) ويمكن دراستها في بحوث لاحقة .

3. النتائج والاستنتاجات

- إن ارتفاع ردمية السد له الأثر الأهم والأساسي في إظهار دور الجيوغريد كمادة للتدعيم، في حين تؤدي البارامترات الأخرى دوراً في أن يظهر هذا الأثر بشكل كامل أو بشكل جزئي.
- إن تغيير عرض قمة ردمية السد ذو تأثير بسيط وغير مهم في قساوة التربة.
- كلما ازدادت قساوة الجيوغريد المستخدم للتدعيم تزداد قساوة التربة ومن ثمَّ قدرة تحملها
- إن معامل تأثير القساوة (K_f) مرتبط بكل من : ارتفاع ردمية السد (X_1) وعرض قمة ردمية السد (X_2) وسماكة طبقة الأساس الضعيفة المواصفات (X_3) وقساوة الجيوغريد (X_4) وفق المعادلة الآتية:

$$\overline{(K_f)} = 1.9278238 + 0.7833331X_{1K} + 0.957941X_{2K} + 0.2107901X_{3K} + 1.7353776X_{4K} \dots (3-1)$$

وإن مدى الارتباط وفق الدراسة الإحصائية $R^2 = 0.81$

المراجع :

1. العبيد عبد الرحمن. مبادئ التنبؤ الإداري. الرياض
جامعة الملك سعود: النشر العلمي والمطابع 2004م.
2. قاسم أحمد رفيق؛ حلاق عمر. المدخل إلى علم
الإحصاء. حلب: مديرية الكتب والمطبوعات
الجامعية جامعة حلب 1412هـ.
3. Braja M, Das. Advanced Soil
Mechanics. London and New York: Taylor
& Francis, Third edition, 2008.
4. Helwany, Sam. Applied Soil Mechanics
Hoboken, New Jersey: John Wiley &
Sons, Inc: 2007.
5. J.S. Sharma & M.D. Bolton (Centrifuge
Modelling of an Embankment on Soft Clay
Reinforced with a Geogrid). Ireland:
Geotextiles and Geomembranes 14 (1996) 1-
17
6. R.B.J Brinkgreve. Plaxis 2D-V8.
Netherlands. Delft University of Technology
and Plaxis b.v : A.A. Balkema Publishers, a
member of Swets & Zeitlinger
Publishers, 2002.
7. Al-Obayd, Abdul Rahman. managerial
prediction basics, University of Soud King :
2004 A.D.
8. Kassim Ahmad Rafeek Hallak Ommar Entier
to statistics . Alippo : University of Alippo ,
1412 A.H.

تاريخ ورود البحث إلى مجلة جامعة دمشق 2011/6/30.